

Тогда максимум достигается лишь в точке D ($p_D = p_*$). Интегрируя условие (5.2) по частям, получим

$$\frac{p - p_*}{\eta(\lambda)} \Big|_A - \frac{p - p_*}{\eta(\lambda)} \Big|_C + \int_C^A \frac{p - p_*}{\eta^2} d\eta = 0.$$

При этом все три члена одного знака, следовательно, $p - p_* = 0$. Таким образом, $\min p = \max p$, значит, $p = \text{const}$, $f = 0$. Тогда задача сопряжения (4.1) однозначно разрешима в выбранном классе функций, и, следовательно, $J \neq 0$.

Таким образом, разрешимость сформулированной краевой задачи зависит от типа отраженного скачка уплотнения. Если отраженный скачок слабый и сильноустойчивый, то течение не изменит своего характера, т.е. произойдет деформация отраженного скачка уплотнения, и задача о возмущениях будет иметь решение. В остальных случаях поставленная автомодельная задача о возмущениях неразрешима, что свидетельствует о принципиальной перестройке течения.

Анализ полученного решения (4.3) показывает, что в угловой точке решение имеет логарифмическую особенность. Это обстоятельство указывает на неправомерность линейного приближения в малой окрестности точки перелома и на необходимость отдельного детального изучения поведения решения в окрестности этой точки. Полное изучение данного вопроса выходит за рамки предложенной работы.

В [3] аналогичные выводы получены при исследовании задачи о нестационарных неавтомодельных возмущениях стационарного течения, возникающего при регулярном отражении косого скачка уплотнения от жесткой стенки. В [5] вывод о неразрешимости задачи о возмущениях сильного скачка уплотнения получен при анализе уравнений околосзвукового приближения.

Автор выражает искреннюю благодарность профессору В.М. Тешукову за постоянное внимание к работе и обсуждение результатов.

ЛИТЕРАТУРА

- Ter-Minassians S.M. The diffraction accompanying the regular reflexion of a plane obliquely impinging shock wave from the walls of an obtuse wedge // J. Fluid Mech. — 1969. — V. 35, pt 2.
- Арутюнян Г.М., Карчевский Л.В. Отраженные ударные волны. — М.: Машиностроение, 1973.
- Тешуков В.М. Об устойчивости регулярного отражения ударных волн // ПМТФ. — 1989. — № 3.
- Мусхелишвили Н.И. Сингулярные интегральные уравнения. — М.: Наука, 1968.
- Гришин А.В., Шифрин Э.Г. О режиме присоединенного скачка уплотнения на кромках V -образного крыла // ПММ. — 1979. — № 1.

г. Новосибирск

Поступила 15/1 1993 г.,
в окончательном варианте —
25/V 1993 г.

УДК 532.539

В.П. Киселев, С.П. Киселев, В.М. Фомин

О ВЗАИМОДЕЙСТВИИ УДАРНОЙ ВОЛНЫ С ОБЛАКОМ ЧАСТИЦ КОНЕЧНЫХ РАЗМЕРОВ

В работе приведены результаты расчетов взаимодействия ударной волны (УВ) с облаком частиц. Показано существенное влияние объемной концентрации частиц на ускорение облака частиц.

© В.П. Киселев, С.П. Киселев, В.М. Фомин, 1994

1. Рассмотрим облако твердых сферических частиц, на которое набегает УВ. Требуется найти параметры газа и частиц, возникающие в результате взаимодействия УВ с облаком частиц. Движение частиц моделируется бесстолкновительным кинетическим уравнением, а газ — осредненными уравнениями запыленного газа. Предполагается, что частицы могут обладать дисперсией по скоростям и размерам. Данная модель подробно описана в [1, 2] и применима в случае, когда в области течения не происходит пересечения траекторий частиц либо столкновения частиц являются редкими ($K_p \approx d/(6m_2 L) \gtrsim 1$, L — относительное расстояние, проходимое частицей в облаке, m_2 — объемная концентрация частиц, d — диаметр частиц). Пренебрегая эффектами теплообмена, запишем полную систему уравнений [1, 2] в виде

$$(1.1) \quad \begin{aligned} & \frac{\partial f}{\partial t} + \nabla_x^i f + \frac{\partial}{\partial v_2^i} (a^i f) = 0, \quad i = 1, 2, 3, \\ & f = f(i, x^i, v_2^i, r_s), \quad n = \int_{-\infty}^{\infty} \int_0^{\infty} f dV_v dr_s, \\ & m_2 = \int_{-\infty}^{\infty} \int_0^{\infty} \frac{4}{3} \pi r_s^3 f dV_v dr_s, \quad dV_v = dv_2^1 dv_2^2 dv_2^3, \\ & m_1 + m_2 = 1, \quad \rho_2 = \rho_{22} m_2, \quad a^i = a_v^i - \nabla_x p / \rho_{22}, \\ & a_v^i = \frac{3}{4} \left(\frac{\text{Re} \mu}{\rho_{22} d^2} \right) C_d (\text{Re}, M_{12}) (v_1^i - v_2^i), \\ & C_d (\text{Re}, M_{12}) = (1 + \exp(-0.43/M_{12}^{4.67})) \left(\zeta + \frac{24}{\text{Re}} + \frac{4}{\sqrt{\text{Re}}} \right), \\ & \text{Re} = \rho_{11} |v_1 - v_2| d / \mu, \quad M_{12} = |v_1 - v_2| / c_0, \\ & p = (\gamma - 1) \rho_{11} \mathcal{E}_1, \quad \mathcal{E}_1 = c_v T_1, \quad \rho_1 = \rho_{11} m_1, \quad \frac{\partial \rho_1}{\partial t} + \nabla_i \langle \rho_1 v_1^i \rangle = 0, \\ & \rho_1 \frac{d_1 v_1^i}{dt} = -m_1 \nabla_x p - F_{12}^i, \quad \frac{d_1}{dt} = \frac{\partial}{\partial t} + v_1^i \nabla_x, \\ & \frac{d_1 \mathcal{E}_1}{dt} + p \frac{d_1}{dt} \left(\frac{1}{\rho_{11}} \right) = \Phi_3, \quad F_{12}^i = \int_{-\infty}^{\infty} \int_0^{\infty} m a_v^i f dV_v dr_s, \quad m = \frac{4}{3} \pi r_s^3 \rho_{22}, \\ & \Phi_3 = \frac{1}{\rho_1} \int_{-\infty}^{\infty} \int_0^{\infty} m a_v^i (v_1^i - v_2^i) f dV_v dr_s, \end{aligned}$$

где по повторяющимся индексам i подразумевается суммирование; f — одиночастичная функция распределения в фазовом пространстве t, x^i, v_2^i, r_s ($i = 1, 2, 3$); dV_v — элемент объема в пространстве скоростей; n — концентрация; $a^i, \langle v_2^i \rangle$ — i -е компоненты ускорения и средней скорости частиц; p, μ, c_0 — давление, вязкость и скорость звука в газе; γ — показатель адиабаты; Re , M_{12} — числа Рейнольдса и Маха; $m_1, m_2, \rho_1, \rho_2, \rho_{11}, \rho_{22}$ — объемные концентрации, средние плотности и истинные плотности газа и частиц; \mathcal{E}_1 — удельная внутренняя энергия газа; F_{12}^i — i -я составляющая силы взаимодействия газ — частицы, связанная со скоростной неравновесностью. В данной работе рассчитывается движение газа и частиц в осесимметричном и плоском случае. Поскольку при ускорении облако может смещаться на большие расстояния, целесообразно решать задачу в системе центра масс облака частиц. Направляя ось z вдоль скорости центра масс облака частиц D , а r — перпендикулярно, перепишем систему (1.1):

$$(1.2) \quad \frac{\partial f}{\partial t} + v_2 \frac{\partial f}{\partial z} + w_2 \frac{\partial f}{\partial r} + \frac{\partial}{\partial v_2}(a_z f) + \frac{\partial}{\partial w_2}(a_r f) + k \frac{w_2}{r} f = 0,$$

$$v_2 = v_2^n - D, \quad w_2 = w_2^n, \quad a_z = a_z^n - \dot{D}, \quad a_r = a_r^n,$$

$$\dot{D} = \frac{dD}{dt}, \quad D = \int \rho_2 v_2^n f dV dV_c dr_s / \int \rho_2 f dV dV_c dr_s,$$

$$dV = r^k dr dz, \quad dV_c = dw_2 dv_2, \quad \frac{\partial \varphi}{\partial t} + \frac{\partial F}{\partial z} + \frac{\partial G}{\partial r} + \Phi = 0,$$

$$\varphi = \begin{pmatrix} \rho_1 \\ \rho_1 v_1 \\ \rho_1 w_1 \\ \rho_1 \left(\mathcal{E}_1 + \frac{v_1^2 + w_1^2}{2} \right) \end{pmatrix}, \quad F = \begin{pmatrix} \rho_1 v_1 \\ \rho_1 v_1^2 + pm_1 \\ \rho_1 v_1 w_1 \\ \rho_1 v_1 A_1 \end{pmatrix},$$

$$G = \begin{pmatrix} \rho_1 w_1 \\ \rho_1 v_1 w_1 \\ \rho_1 w_1^2 + pm_1 \\ \rho_1 w_1 A_1 \end{pmatrix}, \quad \Phi = \begin{pmatrix} k \rho_1 w_1 / r \\ k \rho_1 v_1 w_1 / r + \Phi_1 \\ k \rho_1 w_1^2 / r + \Phi_2 \\ k \rho_1 w_1 A_1 + A_2 \end{pmatrix},$$

$$v_1 = v_1^n - D, \quad w_1 = w_1^n, \quad A_1 = \mathcal{E}_1 + pm_1 / \rho_1 + (v_1^2 + w_1^2) / 2,$$

$$A_2 = v_1 \Phi_1 + w_1 \Phi_2 + p \left(\frac{\partial m_1}{\partial t} + v_1 \frac{\partial m_1}{\partial z} + w_1 \frac{\partial m_1}{\partial r} \right) - \rho_1 \Phi_3,$$

$$\Phi_1 = \rho_1 \dot{D} - p \frac{\partial m_1}{\partial z} - F_{12}^z, \quad \Phi_2 = -p \frac{\partial m_1}{\partial r} - F_{12}^r,$$

$$\Phi_3 = \frac{1}{\rho_1} \int m (a_v^2 (v_1 - v_2) + a_r^2 (w_1 - w_2)) f dV_c dr_s.$$

Здесь $k = 0$ в плоском случае, $k = 1$ — в осесимметричном; v_1, v_2, w_1, w_2 — z - и r -компоненты скорости газа и частиц; индексом л отмечены параметры газа и частиц в лабораторной системе отсчета. Остальные обозначения совпадают с (1.1).

Система уравнений (1.1), (1.2) используется для расчета дозвуковых ($M_{12} < 1$) и сверхзвуковых ($M_{12} > 1$) движений частиц в газе. При сверхзвуковом движении в окрестности каждой частицы возникает коническая маховская УВ. Данная модель не позволяет рассчитать УВ, «сидящую» на каждой частице, однако наличие маховской УВ учитывается в зависимости $C_d(M_{12})$, так что $C_d(M_{12} > 1)/C_d(M_{12} < 1) \sim 2$. Это дает возможность корректируочно описать осредненное сверхзвуковое движение облака частиц в газе. Коэффициент ζ в формуле для C_d (см. (1.1)) выбирался из условия совпадения рассчитанной и измеренной в эксперименте [3, 4] зависимости координаты одиночной частицы от времени $x(t)$ при ее ускорении за фронтом УВ. На рис. 1 линией показаны результаты расчетов траектории движения одиночной частицы при $\zeta = 0,38$, а кружками — результаты эксперимента для частиц бронзы с $\rho_{22} = 8,6 \cdot 10^3 \text{ кг/м}^3$, $d = 180 \pm 10 \text{ мкм}$, при числе Маха УВ $M_0 = 2,6$ и начальном давлении $p^0 = 1 \text{ атм}$.

Из рис. 1 следует, что выбранная формула для C_d достаточно хорошо описывает движение одиночной частицы в широком диапазоне изменения M_{12} и Re .

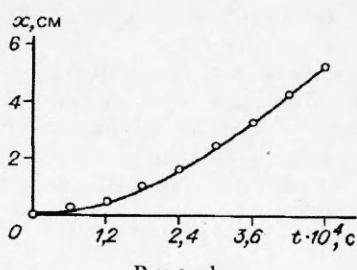


Рис. 1

2. Система уравнений (1.2) решалась численно на ЭВМ с помощью алгоритма, суть которого состоит в следующем. На плоскости (r, z) строится эйлерова прямоугольная сетка с шагами по r и z , равными $2h_r$ и $2h_z$. На эйлеровой сетке расписываются уравнения для газа по явной конечно-разностной схеме 3-го порядка точности (используется векторная форма записи, см. (1.2)) [5, 6]. Бесстолкновительное кинетическое уравнение решается в лагранжевых переменных. Выберем индивидуальный объем в фазовом пространстве частиц $\mathcal{V}(t)$. Условие сохранения полного числа частиц N в индивидуальном объеме имеет вид

$$(2.1) \quad N = \int_{\mathcal{V}(t)} f dV / V dr = \text{const}$$

где $\mathcal{V}(t)$ образована одними и теми же частицами, траектории которых определяются из уравнений

$$(2.2) \quad \frac{dz}{dt} = v_2, \quad \frac{dr}{dt} = w_2, \quad \frac{dv_2}{dt} = a_z, \quad \frac{dw_2}{dt} = a_r, \quad \frac{dr_s}{dt} = 0.$$

Система (2.2) совпадает с характеристиками кинетического уравнения (первое в (1.2)). Последнее уравнение в (2.2) отражает отсутствие дробления и коагуляции частиц. Дифференцируя (2.1) по времени, с учетом теоремы Остроградского — Гаусса и системы (2.2) легко получить бесстолкновительное кинетическое уравнение в (1.2).

Область, занятая частицами, разбивается в момент $t = 0$ на прямоугольные лагранжевые ячейки частиц (ЯЧ) размером $2h_z, 2h_r$, так что внутри каждой i -й ЯЧ все частицы имеют одинаковую скорость v_{2i}^0, w_{2i}^0 и радиус r_i , поэтому функция распределения в i -й ЯЧ при $t = 0$ записывается как

$$f_i^0 = \frac{N_i}{V_i^0} \delta(v_2 - v_{2i}^0) \delta(w_2 - w_{2i}^0) \delta(r - r_i), \quad V_i^0 = 4(r_i^0)^k h_z h_r$$

(N_i — число частиц в i -й ЯЧ, δ — дельта-функция). Индивидуальный объем $\mathcal{V}(t)$ будет совпадать с объемом движущейся ЯЧ, поэтому число частиц в i -й ЯЧ останется постоянным. В результате функция распределения в i -й ЯЧ в момент t^n будет даваться формулой

$$(2.3) \quad f_i^n = \frac{N_i}{V_i^n} \delta(v_2 - v_{2i}^n) \delta(w_2 - w_{2i}^n) \delta(r - r_i),$$

где

$$\begin{aligned} V_i^n &= 4(r_{2i}^n)^k h_z h_r, \\ v_{2i}^n &= v_{2i}^{n-1} + \tau a_{zi}^{n-1}, \quad w_{2i}^n = w_{2i}^{n-1} + \tau a_{ri}^{n-1}, \\ z_{2i}^n &= z_{2i}^{n-1} + \tau v_{2i}^{n-1} + a_{zi}^{n-1} \tau^2 / 2, \\ r_{2i}^n &= r_{2i}^{n-1} + \tau w_{2i}^{n-1} + a_{ri}^{n-1} \tau^2 / 2, \end{aligned}$$

$\tau = t^n - t^{n-1}$ — шаг по времени. Как следует из (2.3), лагранжевые ЯЧ движутся относительно эйлеровой сетки со скоростями v_{2i}^n, w_{2i}^n . Функция распределения f_j^n в j -й эйлеровой ячейке (ЭЯ) имеет вид

$$(2.4) \quad \begin{aligned} f_j^n &= \sum_i^m \frac{\delta_i^n N_i}{V_i^n} \delta(v_2 - v_{2i}^n) \delta(w_2 - w_{2i}^n) \delta(r - r_i), \\ \delta_i^n &= \frac{V_{ij}^n}{V_j^n}, \quad V_{ij}^n = (r_{2i}^n)^k S_{ij}^n, \quad V_j = (r_j^n)^k S_j, \quad S_j = 4h_z h_r, \end{aligned}$$

где δ_i^n — доля объема, занимаемая i -й ЯЧ в j -й ЭЯ; величины S_i , S_{ij}^n показаны на рис. 2 для i -й ЯЧ, пересекающей j -ю ЭЯ. Суммирование в (2.4) идет по m ЯЧ, пересекающих j -ю ЭЯ. С помощью (2.4) можно найти среднюю величину

$$(2.5) \quad \langle Q \rangle = \frac{1}{n} \int_{-\infty}^{\infty} \int_{-\infty}^{\infty} Q f dV dr.$$

Подставляя (2.4) в (2.5), в j -й ЭЯ получим

$$(2.6) \quad \langle Q \rangle_j^n = \left(\sum_i^m Q_i^n \delta_i^n N_i / V_i^n \right) / \left(\sum_i^m \delta_i^n N_i / V_i^n \right).$$

Формула (2.6) позволяет найти средние параметры частиц в произвольной ЭЯ. Параметры газа в ЯЧ находились методом линейной интерполяции.

3. Рассмотрим облако твердых сферических частиц, находящихся в плоском канале, на которое слева набегает УВ (рис. 3). В момент $t = 0$ облако является однородным и перекрывает все сечение канала. Вдоль z облако ограничено границами Γ_2 , Γ_3 . Координата левой границы облака обозначена z_1 , а правой z_2 . Требуется рассчитать картину течения, возникающую в результате взаимодействия УВ с облаком частиц, и найти зависимость координаты левой границы облака z_1 от времени t . (В [3, 4] экспериментально изучалось взаимодействие УВ с облаком частиц и изменилась зависимость координаты левой границы облака от времени.) В области Ω_1 частицы отсутствуют, поэтому параметры газа находились из решения системы уравнений Эйлера (газ идеальный) по схеме 3-го порядка точности. В области Ω_2 решалась система уравнений (1.2) с помощью численной методики, описанной в п. 2. В уравнениях (1.2) полагалось $k = 0$ (плоский случай), $\zeta = 0,38$, $D = \dot{D} = 0$ (лабораторная система координат). Начальные условия задавались в виде

$$(3.1) \quad \begin{aligned} \rho_{11} &= \rho_{11}^0, p = p^0, v_1 = w_1 = 0, z > z^+, \\ \rho_{11} &= \rho_{11}^0 M_0^2 / (1 - h + h M_0^2), p = p^0 ((1 + h) M_0^2 - h), \\ v_1 &= (1 - h) c_0 (M_0 - 1/M_0), h = (\gamma - 1)/(\gamma + 1), \\ w_1 &= 0, M_0 = D_0/c_0, z < z^+, \\ m_2 &= m_2^0, f^0 = R(r) \delta(w_2) \delta(v_2) \text{ в } \Omega_2, \end{aligned}$$

где $R(r) = \frac{6m_2^0}{\pi d^3} \delta(r - d/2)$ для монодисперсного облака частиц с диаметром $d = d_s$; в полидисперсном случае функция $R(r)$ будет приведена ниже. В качестве граничных условий для газа на $\gamma_1 \Gamma_1 \gamma'_1 \gamma_3 \Gamma_3 \gamma'_3$ полагается $w_1 = 0$, а

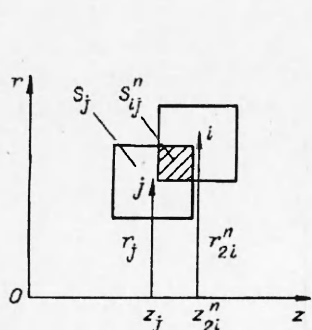


Рис. 2

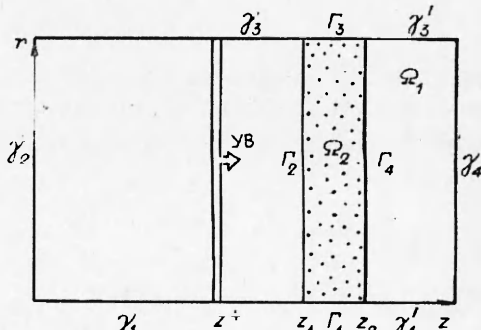


Рис. 3

на γ_2, γ_4 ставится условие симметрии (см. рис. 3). Для частиц на $\gamma_1, \Gamma_1, \gamma'_1$ и $\gamma_3, \Gamma_3, \gamma'_3$ ставится условие зеркального отражения, а на γ_2, γ_4 — поглощения частиц. Значения параметров газа и частиц в расчетах выбирались такими же, как в экспериментах [3, 4]. Перед фронтом УВ газ покоялся: $w_1^0 = v_1^0 = 0$, $\rho_{11}^0 = 1,2 \text{ кг}/\text{м}^3$, $p^0 = 10^5 \text{ Па}$, $\gamma = 1,4$, а $M_0 = 2,8$. Рассматривались сферические частицы из оргстекла и бронзы. Для частиц оргстекла с $\rho_{22} = 1,2 \cdot 10^3 \text{ кг}/\text{м}^3$, $d_s = 300 \text{ мкм}$ расчеты проводились при $m_2^0 = 10^{-3}$ и $3 \cdot 10^{-2}$, а координаты границ облака при $t = 0$ были $z_1 = 2 \cdot 10^{-2} \text{ м}$, $z_2 = 3,8 \cdot 10^{-2} \text{ м}$. Для частиц бронзы с $\rho_{22} = 8,6 \cdot 10^3 \text{ кг}/\text{м}^3$, $d_s = 130 \text{ мкм}$ $m_2^0 = 10^{-5}$ и 10^{-2} , $z_1 = 1,4 \cdot 10^{-2} \text{ м}$, $z_2 = 2,3 \cdot 10^{-2} \text{ м}$.

Отметим, что в экспериментах размеры частиц бронзы изменялись в диапазоне $d \sim 80 \div 130 \text{ мкм}$, а оргстекла $d \sim 80 \div 300 \text{ мкм}$. Влияние полидисперсности рассмотрено ниже на примере частиц бронзы. Расчеты показали, что наличие мелкой фракции не меняет существенно картину течения газа и зависимость координаты левой границы облака от времени.

На рис. 4 приведена траектория левой границы облака $z_1(t)$ после взаимодействия УВ с облаком частиц оргстекла. Кружки — результаты эксперимента [3, 4] с разреженным облаком ($m_2^0 = 10^{-3}$), треугольники — с более плотным облаком ($m_2^0 = 3 \cdot 10^{-2}$). Результаты расчета при $m_2^0 = 10^{-3}$ и $3 \cdot 10^{-2}$ — соответственно кривые 1 и 2. Видно, что наблюдается хорошее совпадение расчетов с экспериментом. На рис. 5, 6 для облака при $m_2^0 = 3 \cdot 10^{-2}$ представлены зависимости давления $p(z)$ и местного числа Маха $M_1(z)$ ($M_1 = v_1/c_1$) на моменты времени $t = 50, 100, 150 \text{ мкс}$ (кривые 1—3). Вертикальными отрезками на кривых $p(z)$, $M_1(z)$ показаны левая и правая границы облака. Видно, что перед облаком формируется отраженная коллективная УВ, которая постепенно «убегает» от облака. Внутри облака образуется волна разрежения, в которой происходит ускорение газа, и вблизи правой границы облака поток становится сверхзвуковым. Волна разрежения не расплывается со временем и имеет размеры, совпадающие с размерами облака. Амплитуда проходящей УВ уменьшается по сравнению с падающей, так как часть энергии газа идет на ускорение облака. Образование отраженной УВ связано с торможением газа частицами облака. Поэтому время ее формирования t^* должно быть порядка времени скоростной релаксации газа τ_v . Величину τ_v оценим из уравнений движения газа

$$(3.2) \quad \frac{dv_1}{dt} = - \frac{1}{\rho_{11}} \frac{\partial p}{\partial z} - \frac{3}{4} C_d \frac{m_2}{m_1} |v_1 - v_2| (v_1 - v_2)/d.$$

На стадии формирования коллективной УВ скорость частиц v_2 существенно меньше скорости газа v_1 ($v_2 \ll v_1$), поэтому второй член в правой части (3.2) можно представить в виде $-v_1/\tau_v$, где

$$(3.3) \quad \tau_v = \frac{4}{3} \frac{m_1}{C_d m_2} \frac{d}{v_1}.$$

Подставляя в (3.3) $d = 300 \text{ мкм}$, $C_d \sim 1 \div 0,5$, $m_2 = 3 \cdot 10^{-2}$, $v_1 \approx 7 \cdot 10^2 \text{ м}/\text{с}$, получим $\tau_v \sim 20 \div 40 \text{ мкс}$, что близко к $t^* \sim 50 \text{ мкс}$ (см. рис. 5, 6). Из рис. 5, 6 видно, что при $t > 50 \text{ мкс}$ движение газа в системе центра масс облака является квазистационарным, поэтому, переписывая (3.2) в системе центра масс облака с учетом $\frac{\partial(v_1 - v_2)}{\partial t} \approx 0$, $D \approx v_2$, получим

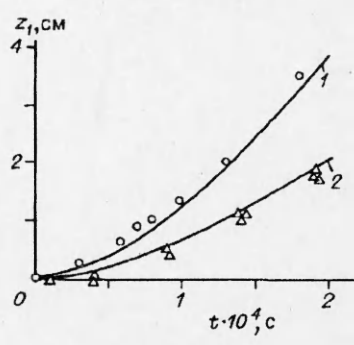
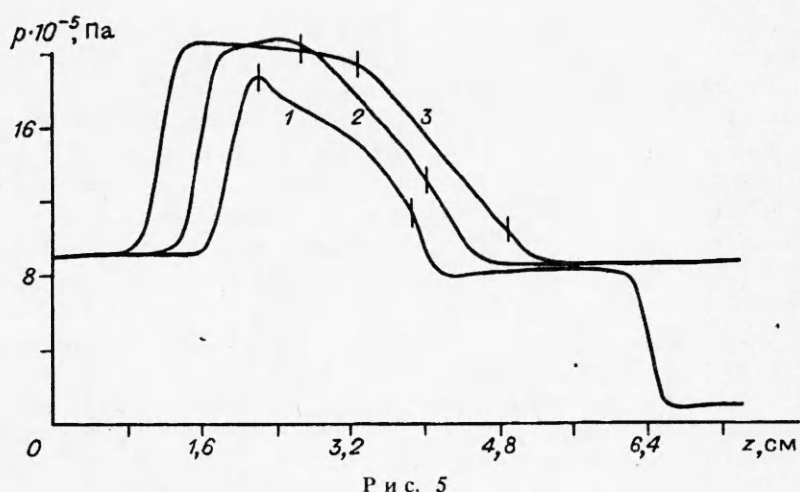


Рис. 4



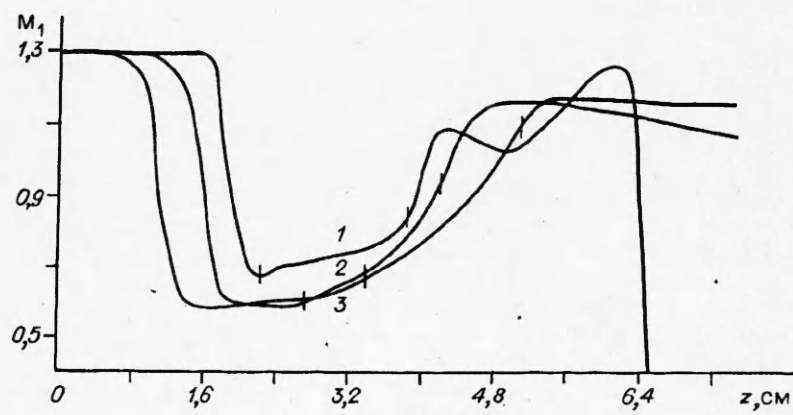
Р и с. 5

$$(3.4) \quad \frac{\partial p}{\partial z} \approx -\rho_{11} \dot{v}_2 - \frac{\partial}{\partial z} \rho_{11} (v_1 - v_2)^2 - \frac{3}{4} C_d \frac{m_2}{m_1} \rho_{11} |v_1 - v_2| (v_1 - v_2) / d.$$

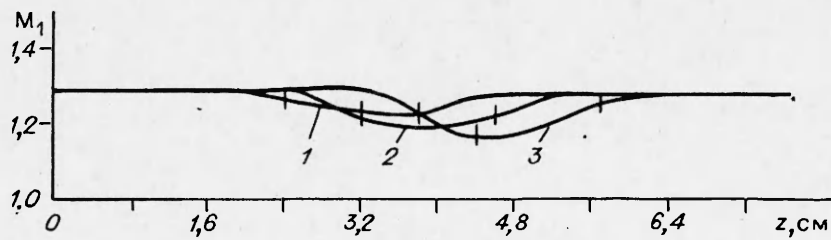
Поскольку газ в облаке и само облако ускоряются ($\frac{\partial}{\partial z} \rho_{11} (v_1 - v_2)^2 \geq 0$, $\dot{v}_2 \geq 0$, $v_1 \geq v_2$), то из уравнения (3.4) имеем неравенство $\frac{\partial p}{\partial z} \geq 0$. При ускорении облака разность $(v_1 - v_2)$ уменьшается, что приводит к соответствующему уменьшению градиента $|\partial p / \partial z|$ и амплитуды отраженной УВ. На рис. 5 видно уменьшение давления p в отраженной УВ при $t = 150$ мкс по сравнению с моментом времени $t = 100$ мкс. Равенство $\partial p / \partial z = 0$ достигается, когда облако движется со скоростью, равной скорости газа $v_2 = v_1$, в этом случае отраженная УВ исчезает.

На рис. 7 приведена зависимость $M_1(z)$ при взаимодействии УВ с облаком частиц оргстекла с малой объемной концентрацией частиц ($m_2^0 = 10^{-3}$). Кривые 1–3 соответствуют $t = 50, 100, 150$ мкс. Вертикальными отрезками обозначены левая и правая границы облака. Видно, что течение в облаке является сверхзвуковым ($M_1 > 1$) и отраженная коллективная УВ не возникает. Появление малых возмущений перед левой границей облака связано со схемной вязкостью.

Проведенный анализ течения газа позволяет понять причину более сильного ускорения разреженного облака частиц. В случае разреженного



Р и с. 6



Р и с. 7

облака частиц оргстекла ($m_2^0 = 10^{-3}$) скорость газа в облаке примерно в 2 раза больше, чем в плотном облаке ($m_2^0 = 3 \cdot 10^{-3}$) (см. рис. 6, 7). Сила f_{12} , действующая на частицу в облаке, определяется коэффициентом C_d и скоростным напором: $f_{12} \sim C_d \rho_{11} (v_1 - v_2)^2 / d$. На начальной стадии ускорения ($t \leq 100$ мкс) можно пренебречь скоростью частиц $v_2 \ll v_1$, поэтому $f_{12} \sim C_d \rho_{11} v_1^2 / d$. Величина $j = \rho_{11} v_1$ для плотного и разреженного облаков примерно одна и та же. Для доказательства рассмотрим изменение j при пересечении струйкой газа фронта отраженной УВ ($m_2^0 = 3 \cdot 10^{-2}$). Обозначая скорость отраженной коллективной УВ через u , параметры газа перед УВ — индексом $-$, а за УВ — индексом $+$, из условия сохранения потока получим

$$\rho_{11}^+ (v_1^+ - u) = \rho_{11}^- (v_1^- - u),$$

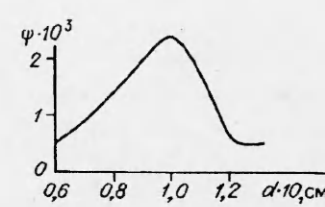
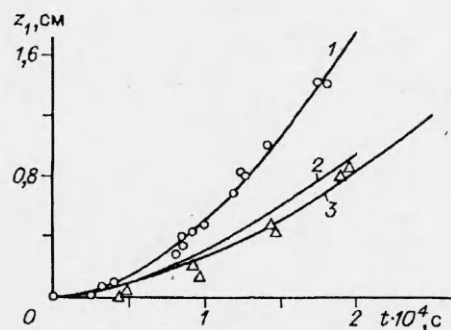
откуда

$$(3.5) \quad \frac{\Delta j}{j^-} = \frac{\Delta \rho_{11}}{\rho_{11}^-} \frac{u}{v_1^-} \sim \frac{u}{v_1},$$

где $\Delta \rho_{11} = \rho_{11}^+ - \rho_{11}^-$; $\Delta j = j^+ - j^- = \rho_{11}^+ v_1^+ - \rho_{11}^- v_1^-$. Из рис. 5, 6 можно найти скорость отраженной УВ $u = \Delta z / \Delta t = 60$ м/с. Полагая в (3.5) $v_1 \approx 700$ м/с, $u = 60$ м/с, имеем $\Delta j / j^- \sim 0,1$, изменением j при пересечении газом УВ можно пренебречь.

Другим фактором, оказывающим влияние на f_{12} , является зависимость C_d от M_{12} . На это обстоятельство указывалось ранее в [3,4]. При $m_2^0 = 10^{-3} M_{12} > 1$, а при $m_2^0 = 3 \cdot 10^{-2} M_{12} < 1$, откуда с учетом C_d (M_{12}) получим неравенство $C_d(m_2^0 = 10^{-3}) > C_d(m_2^0 = 3 \cdot 10^{-2})$. Как показали расчеты, при $t \approx 50$ мкс имеем $C_d(m_2^0 = 3 \cdot 10^{-2}) \approx 0,44$, $C_d(m_2^0 = 10^{-3}) \approx 0,72$, поэтому, пренебрегая в первом приближении зависимостью j от m_2^0 , находим оценку

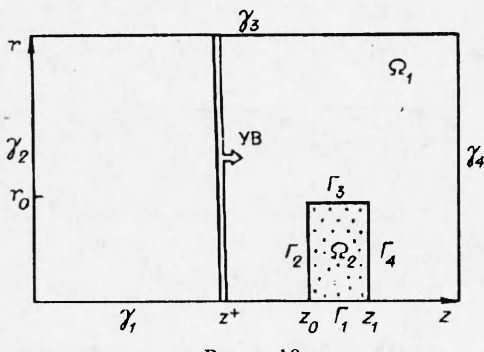
$$(3.6) \quad z_1^n / z_1^p \sim f_{12}^n / f_{12}^p \sim (C_d^n v_1^n) / (C_d^p v_1^p) \sim 0,3,$$



Р и с. 9

Р и с. 8

³ Заказ № 811



Р и с. 10

где индексом п обозначены величины при $m_2^0 = 3 \cdot 10^{-2}$, а индексом р — при $m_2^0 = 10^{-3}$. Приведенная оценка (3.6) сохраняется и на более поздние моменты времени, когда нельзя пренебречь величиной v_2 . Из анализа течения газа и частиц оргстекла, взятых в середине облака в момент $t = 150$ мкс, следует

$$\begin{aligned} j^n &= \rho_{11}^n (v_1 - v_2)^n = \\ &= 1,6 \cdot 10^3 \text{ кг}/(\text{м}^2 \cdot \text{с}), \\ (v_1 - v_2)^n &= 2,3 \cdot 10^2 \text{ м/с}, \end{aligned}$$

$$\begin{aligned} C_d^n &= 0,44, j^p = \rho_{11}^p (v_1 - v_2)^p = 1,92 \cdot 10^3 \text{ кг}/(\text{м}^2 \cdot \text{с}), (v_1 - v_2)^p = \\ &= 4 \cdot 10^2 \text{ м/с}, C_d^p \approx 0,5, \end{aligned}$$

откуда

$$\frac{f_{12}^n}{f_{12}^p} \sim \frac{C_d^n j^n (v_1 - v_2)^n}{C_d^p j^p (v_1 - v_2)^p} \sim 0,42.$$

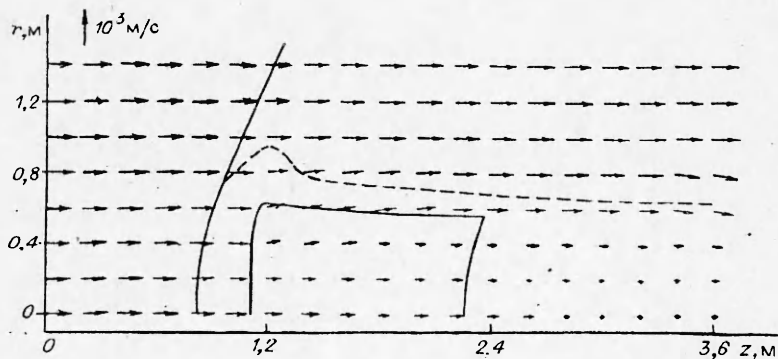
Отметим, что при ускорении в УВ облака частиц бронзы, которые рассматриваются ниже, отличие f_{12}^n и f_{12}^p связано, в первую очередь, с зависимостью $C_d(M_{12})$. Так, на момент $t = 150$ мкс для частиц бронзы, находящихся в середине облака, имеем

$$\begin{aligned} j^n &= 2,46 \cdot 10^3 \text{ кг}/(\text{м}^2 \cdot \text{с}), (v_1 - v_2)^n = 3,4 \cdot 10^2 \text{ м/с}, C_d^n = 0,45, \\ j^p &= 2,48 \cdot 10^3 \text{ кг}/(\text{м}^2 \cdot \text{с}), (v_1 - v_2)^p = 4,5 \cdot 10^2 \text{ м/с}, C_d^p = 0,83, \end{aligned}$$

откуда

$$f_{12}^n / f_{12}^p \sim 0,75 C_d^n / C_d^p \sim 0,4.$$

Зависимость $z_1(t)$ при ускорении облака частиц бронзы приведена на рис. 8, где кружки и треугольники — результаты эксперимента при $m_2^0 = 10^{-3}$ и 10^{-2} , кривые 1 и 2 — результаты расчетов ускорения монодисперсного облака ($d_s = 130$ мкм, $M_0 = 2,8$) при $m_2^0 = 10^{-3}$ и 10^{-2} . Качественная картина здесь та же, что и на рис. 4. Кривой 3 показан расчет ускорения полидисперсного облака при $m_2^0 = 10^{-2}$ с функцией распределения по размерам, приведенной на рис. 9. По оси ординат (рис. 9) отложена величина $\psi = \frac{\pi d^3}{6} R(d) \Delta d$, а по оси абсцисс — диаметр d . Функция распределения $R(d)$ при $t = 0$ удовлетворяла условию



Р и с. 11

$$\int_{d_1}^{d_2} \frac{\pi d^3}{6} R(d) d(d) = m_2^0,$$

где $d_1 = 60$ мкм; $d_2 = 130$ мкм; $m_2^0 = 10^{-2}$. В расчетах выбирались семь фракций от d_1 до d_2 с шагом $\Delta d = 10$ мкм (рис. 9). Как следует из расчетов, полидисперсность слабо влияет на картину течения в облаке. Некоторое понижение $z_1(t)$ по сравнению с монодисперсным случаем $d_s = 130$ мкм связано с более быстрым формированием отраженной УВ. Как отмечалось выше, $t^* \sim \tau_o \sim d$, поэтому присутствие мелкой фракции уменьшает время образования отраженной УВ t^* . Другой особенностью полидисперсного течения является «сепарация» частиц, так что вблизи левой границы z_1 скапливаются крупные частицы, а вблизи правой границы z_2 — мелкие.

4. Рассмотрим однородное облако сферических частиц, имеющее ограниченные размеры по z и r , на которое слева набегает УВ (рис. 10). Буквой r_0 обозначена координата верхней границы облака в начальный момент $t = 0$, остальные обозначения совпадают с рис. 3. Предполагается, что облако является осесимметричным и находится в безграничной области, заполненной газом. (В численных расчетах область Ω_1 ограничена границами $\gamma_2, \gamma_3, \gamma_4$, на которых для газа ставилось условие зеркальной симметрии, а на γ_1 полагалось $w_1 = 0$.) В Ω_1 решались уравнения идеального газа, а в Ω_2 — система (1.2), где полагалось $\zeta = 0,25, k = 1$ (осесимметричный случай). Расчеты проводились в системе центра масс облака. Начальные условия задавались формулами (3.1) при следующих параметрах газа и частиц: $\rho_{11}^0 = 1$ кг/м³, $p^0 = 8,64 \cdot 10^4$ Па, $\gamma = 1,4$, $M_0 = 3$, $z_0 = 0,9$ м, $z_1 = 1,9$ м, $r_0 = 0,6$ м, $\rho_{22} = 2,7 \cdot 10^3$ кг/м³, $d_s = 4 \cdot 10^{-3}$ м, $m_2^0 = 2 \cdot 10^{-2}$ (z_0, z_1 — координаты границ облака по z , r_0 — радиус облака) (рис. 10). Границные условия для газа были описаны выше, для частиц на оси $r = 0$ ставится условие зеркального отражения, а на $\gamma_2, \gamma_3, \gamma_4$ — поглощения частиц. В результате взаимодействия набегающей УВ с облаком возникают отраженная и прошедшая УВ. Прошедшая УВ выходит из расчетной области через границу γ_4 , а отраженная УВ встает перед облаком частиц.

На рис. 11 стрелками показано поле скоростей газа в момент времени $t = 5,68 \cdot 10^{-3}$ с. Сплошными линиями обозначены отраженная УВ и граница облака, штриховой — звуковая линия ($M = 1$). Видно, что за облаком возникает застойная зона, в которой скорость газа существенно меньше, чем во внешней области ($r > 0,6$ м). Внутри облака вдоль z устанавливается постоянный отрицательный градиент давления, который компенсирует си-

лу — F_{12}^z , действующую на газ со стороны частиц. На рис. 12 приведена зависимость $p(z)$ при $t = 5,68 \cdot 10^{-3}$ с в трех сечениях $r = \text{const}$. Линия 1 соответствует оси $r = 0$, 2 — границе облака $r = 0,6$ м, 3 — $r = 1$ м. Увеличение r приводит к уменьшению амплитуды УВ и градиента давления в облаке, а также к смещению фронта УВ вниз по потоку.

На рис. 13 построено поле скоростей частиц в облаке на мо-

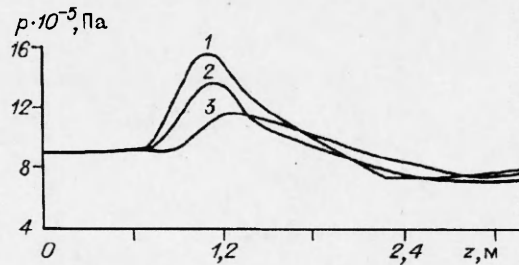


Рис. 12

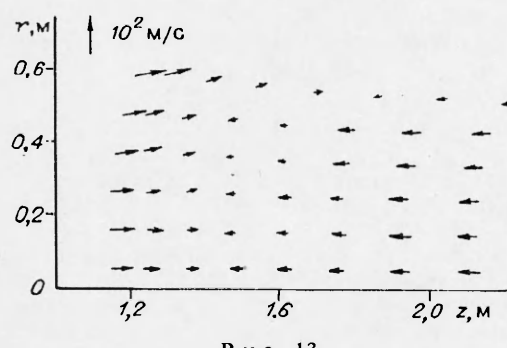


Рис. 13

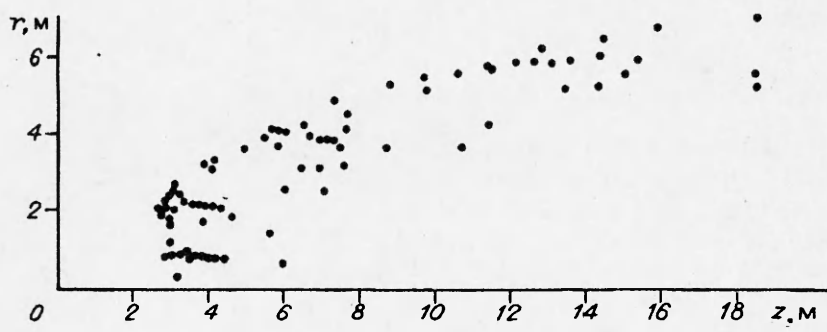


Рис. 14

мент времени $t = 5,68 \cdot 10^{-3}$ с. Из рис. 13 следует, что со временем происходят сжатие облака вдоль оси z и вынос частиц во внешнюю область ($r > 0,6$ м) через верхнюю границу Γ_3 . Существенно более сильная деформация облака происходит при взаимодействии с облаком УВ с $M_0 = 10$. На рис. 14 показано положение центров ячеек частиц на момент $t = 2,9 \cdot 10^{-2}$ с, возникающее в результате взаимодействия УВ ($M_0 = 10$) с облаком частиц, которое при $t = 0$ имело размеры: $z_0 = 6$ м, $z_1 = 13,5$ м, $r_0 = 2,75$ м и $m_2^0 = 2 \cdot 10^{-2}$. В результате деформации облака во внутренней области ($r \leq 2,8$ м) образуется достаточно плотное ядро ($m_2 \sim 4 \cdot 10^{-2}$), с «наветренной» стороны которого выносятся частицы, образующие вытянутый вниз по потоку «хвост» низкой плотности ($m_2 \sim 10^{-4} - 10^{-3}$). Появление вытянутого «хвоста» связано с тем, что во внешней области ($r \geq 2,8$ м) скорость газа и коэффициент C_d больше, чем во внутренней области ($r \leq 2,8$ м), поэтому сила $f_{12} \sim C_d j(v_1 - v_2)$, действующая на каждую частицу во внешней области, также будет больше, чем во внутренней.

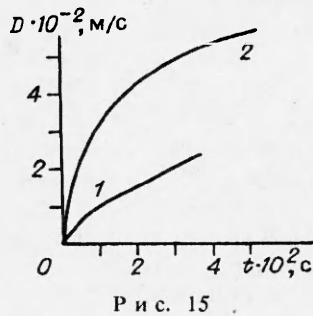


Рис. 15

размеров ($z_0 = 0,9$ м, $z_1 = 1,9$ м, $r_0 = 0,6$ м) УВ с $M_0 = 3$. Скорость D для более плотного облака ($m_2^0 = 2 \cdot 10^{-2}$) в 2 раза меньше, чем для разреженного ($m_2^0 = 5 \cdot 10^{-4}$). Данный эффект связан с различным характером обтекания облака в этих двух случаях. Течение газа в разреженном облаке является сверхзвуковым ($M_{12} > 1$), а в более плотном — дозвуковым ($M_{12} < 1$). В результате сила $f_{12} \sim C_d(M_{12})j(v_1 - v_2)/2$, действующая на частицу в разреженном облаке, будет больше, чем в плотном.

В заключение авторы выражают благодарность В.М. Бойко за полезные обсуждения.

ЛИТЕРАТУРА

1. Киселев С.П., Фомин В.М. Континуально-дискретная модель для смеси газ—твердые частицы при малой объемной концентрации частиц // ПМТФ. — 1986. — № 2.
2. Киселев С.П., Руев Г.А., Трунев А.П. и др. Ударно-волновые процессы в двухкомпонентных и двухфазных средах. — Новосибирск: Наука, 1992.
3. Бойко В.М. Исследование динамики ускорения, разрушения и воспламенения частиц за ударными волнами методами лазерной визуализации: Автореф. дис. ...канд. физ.-мат. наук. — Новосибирск, 1984.

4. Boiko V.M., Fedorov A.V., Fomin V.M. et al. Ignition of small particles behind shock waves // Shock Waves, Explosions and Detonations. — N.Y., 1983. — (Progress in Astronautics and Aeronautics; V. 87).
5. Русанов В.В. Разностные схемы третьего порядка точности для сквозного счета разрывных решений // ДАН СССР. — 1968. — Т. 180, № 6.
6. Гриднев Н.П., Кацнельсон С.С., Фомичев В.П. Неоднородные МГД-течения с T-слоем. — Новосибирск: Наука, 1984.

г. Новосибирск

Поступила 13/IV 1993 г.

УДК 537.84

И.В. Краснослободцев

О ТЕРМОМАГНИТОГИДРОДИНАМИЧЕСКИХ СТАЦИОНАРНЫХ ТЕЧЕНИЯХ ПРОВОДЯЩЕГО ГАЗА В СИЛЬНЫХ МАГНИТНЫХ ПОЛЯХ С УЧЕТОМ ЭФФЕКТОВ ХОЛЛА

Рассматриваются медленные стационарные течения проводящего газа в произвольной области, когда магнитные силы и градиент давления в основной части потока по порядку величины превосходят силы инерции и вязкие напряжения, а закон Ома с учетом термотоков и эффектов Холла записывается в самом общем виде. Будем предполагать, что можно пренебречь искаложением магнитного поля движущейся средой. Исследуемые течения характеризуются большим значением параметра МГД-взаимодействия, большим числом Гартмана и малым значением магнитного числа Рейнольдса.

Основные уравнения, описывающие движения проводящей среды при сделанных предположениях, имеют следующий вид:
уравнение неразрывности

$$(1) \quad \operatorname{div} \rho v = 0;$$

уравнение магнитной статики

$$(2) \quad \operatorname{grad} p = \frac{1}{c} (j \times H);$$

обобщенный закон Ома при наличии термотоков

$$(3) \quad j = \sigma (\operatorname{grad} \varphi + \frac{v}{c} \times H - \alpha \operatorname{grad} T) - \gamma (j \times H) + \kappa (j \times H) \times H;$$

закон сохранения заряда

$$(4) \quad \operatorname{div} j = 0;$$

уравнение энергии

$$(5) \quad \rho c_v \frac{dT}{dt} = k \Delta T - p \operatorname{div} v + \frac{j^2}{\sigma};$$

уравнение состояния

$$(6) \quad p = p(\rho, T).$$

Здесь ρ — плотность среды; σ — проводимость; v — скорость; p — давление; c — скорость света; j — плотность тока; H — напряженность магнитного поля; φ — электрический потенциал; k — коэффициент теплопроводности; c_v — удельная теплоемкость при постоянном объеме; T — температура; α —